

بررسی آزمایشگاهی تاثیر تجمع اجسام شناور بر آبشنستگی موضعی پایه پل

ابراهیم رحیمی^{۱*}، کورش قادری^۲، مجید رحیم‌پور^۳، محمد‌مهدی احمدی^۴

تاریخ دریافت: 1394/10/6 تاریخ پذیرش: 1395/7/28

چکیده

در این تحقیق تاثیر دبی، عمق آب، محل قرارگیری جسم شناور، ضخامت، قطر و شکل جسم شناور بر آبشنستگی موضعی پایه پل به صورت آزمایشگاهی مورد بررسی قرار گرفت. تعداد 45 آزمایش در آزمایشگاه تحقیقات هیدرولیک و سازه‌های آبی بخش مهندسی آب دانشگاه شهید باهنر کرمان انجام شد. نتایج نشان دادند که عمق حداکثری آبشنستگی با افزایش دبی بیشتر و با افزایش عمق آب کمتر می‌شود. ضخامت و قطر اجسام شناور بر آبشنستگی پایه پل موثر بوده و عمق حداکثری آبشنستگی را زیاد می‌کنند. محل قرارگیری آبشنستگی تاثیر زیادی دارد، اگر فاصله سطح آب تا سطح جسم شناور $h_{\text{بازه}} < 0/3$ باشد در بازه $0/3 < h_{\text{بازه}} < 1$ با افزایش استغراق اجسام شناور میزان عمق آبشنستگی زیاد می‌شود، برای $h_{\text{بازه}} > 1$ با افزایش استغراق میزان آبشنستگی کاهش می‌یابد. شکل اجسام شناور بر آبشنستگی تاثیر زیادی دارد، به ترتیب اجسام شناور مستطیلی، استوانه‌ای و مثلثی آبشنستگی بیشتری ایجاد می‌کنند. تجمع اجسام شناور در اطراف پایه پل حدود 90 درصد آبشنستگی را افزایش می‌دهد.

واژه‌های کلیدی: اجسام شناور، رسوبات غیر چسبنده، عمق حداکثری آبشنستگی

پل در اثر یک سیل بزرگ، یعنی درست زمانی که بیشترین نیاز به آن‌ها وجود دارد ویران گردند. بررسی برخی مدارک نشان می‌دهد که بیشترین تخریب پل‌ها در اثر آبشنستگی و یا عوامل هیدرولیکی دیگر صورت می‌گیرد. آبشنستگی پایه پل چالش بزرگی است که میلیون‌ها دلار هزینه می‌برد و یکی از عوامل اساسی در طراحی پل، پیش‌بینی دقیق عمق آبشنستگی است (Talebbeydokhti and Aghbolaghi., 2006).

برآورد عمق آبشنستگی موضعی یکی از مسائل مهمی است که همواره در طراحی سازه‌های هیدرولیکی که در مسیر رودخانه و آبراهه‌ها بنا شده‌اند، مورد توجه مهندسین و محققین بوده است. تحقیقات در زمینه آبشنستگی پایه پل از 60 سال پیش تاکنون ادامه دارد که می‌توان به تحقیقات محققان مانند (Larsen and Toch., 1956), (Chiew., 1999) Melville and (Shen et al., 1969), (1956 Debnath), (Amini et al., 2012), (Lee and Sturm., 2009) (Yasser and Chaudhuri., 2012) شریعتی و همکاران (1390) و et al., 2015) اشاره کرد.

یکی از عوامل مهم که باعث تشدید میزان آبشنستگی پایه پل شده و کمتر مورد توجه قرار گرفته است، تجمع اجسام شناور و شاخ و برگ درختان در اطراف پایه‌های پل می‌باشد. جریان همراه با اجسام شناور در اغلب نقاط دنیا اتفاق می‌افتد. در این جریان‌ها آب مقدار زیادی اجسام شناور، چوب، سنگ، گلولایی به همراه دارد. چون

مقدمه

به طور کلی به فرسایش بستر و کناره رودخانه‌ها و آبراهه‌ها در اثر عبور جریان آب، آبشنستگی گویند. تقاضاوت رقوم بستر فرسایش یافته نسبت به بستر اولیه عمق آبشنستگی نامیده می‌شود. بر اساس نوع مکانیسم آبشنستگی، این پدیده خود به دو صورت رخ می‌دهد. نوع اول، آبشنستگی در مقطع تنگ شده در مسیر یک آبراهه می‌باشد. این نوع آبشنستگی در محل هایی رخ می‌دهد که سرعت جریان در مقطع تنگ شده، افزایش می‌یابد. آبشنستگی موضعی نوع دیگر این پدیده می‌باشد که در اطراف سازه‌های هیدرونظری دیواره‌های جانبی و پایه‌های پل، خطوط لوله انتقال سیال واقع در مقطع عرضی رودخانه‌ها و یا در پایین دست پرتات کننده‌های جامی شکل رخ می‌دهد.

آبشنستگی پایه‌های پل یکی از مهم‌ترین عوامل تهدیدکننده پایداری پل‌های احداث شده بر روی رودخانه‌ها می‌باشد. در اثر آبشنستگی، حفره‌ای در اطراف پایه بوجود آمده و موجب می‌شود که

- 1- دانشجوی دکتری سازه‌های آبی، بخش مهندسی آب، دانشگاه شهید باهنر کرمان
- 2- دانشیار بخش مهندسی آب، دانشگاه شهید باهنر کرمان
- 3- استادیار بخش مهندسی آب، دانشگاه شهید باهنر کرمان
- 4- نویسنده مسئول: (Email: Rahimi.uk@gmail.com)

اجسام شناور بر آبشنستگی پایه پل مورد بررسی قرار گرفت. متغیرهای مورد بررسی شامل دبی، عمق آب، محل قرارگیری جسم شناور، اندازه، شکل، قطر، ضخامت و زبری اجسام شناور که تاثیر آن‌ها بر آبشنستگی موضعی پایه پل به صورت آزمایشگاهی مورد بررسی قرار گرفت.

مواد و روش‌ها

آزمایش‌ها در فلوم آزمایشگاه تحقیقاتی هیدرولیک و سازه‌های آبی بخش مهندسی آب دانشگاه شهید باهنر کرمان انجام شد که طول فلوم آزمایشگاهی با دیواره شیشه‌ای 8 متر، عرض 0/8 متر و عمق فلوم 0/7 متر انتخاب شد. نمایی از این فلوم در شکل ۱ قابل مشاهده است. عمق جریان با استفاده از سرریزهای مستطیلی نصب شده در انتها فلوم تنظیم شد.

دبی جریان با استفاده از یک دبی‌سنج حجمی که در خط لوله خروجی آب قرار داشت اندازه‌گیری شد.

به منظور توسعه یافته‌گی کامل جریان بازه آزمایشی به طول 3 متر و فاصله 4 متر از ابتدای فلوم در نظر گرفته شد و با رسوبات غیرچسبنده به ضخامت 16 سانتی‌متر پر شد. برای جلوگیری از شسته شدن رسوبات، سکوهای بتی در بالادست و پایین‌دست این قسمت نصب شد به طوری که سطح سکوهای بتی هم سطح رسوبات گردد. ضمناً جهت از بین بردن تقاؤت زبری میان بستر رسوبات و سکوها لایه نازکی از رسوبات روی این سکوها نصب شد. نمایی از فلوم و محل قرارگیری پایه پل و اجسام شناور در شکل 2 ارائه شده است.

برای پیشگیری از تشکیل فرم بستر قطر متوسط ذرات باید از 0/7 میلی‌متر بیشتر باشد. همچنین برای حذف اثر رسوب‌ها روی عمق آبشنستگی نسبت 25 – 20 > 20 D/d_{50} باید (D قطر پایه و d_{50} قطر متوسط ذرات) (Raudkivi and Ettema., 1983). بنابراین از رسوب با $d_{50} = 0.88 \text{ mm}$ استفاده گردید که منحنی دانه‌بندی رسوب موردنظر در شکل 3 قابل مشاهده است. برای مدل پایه از یک لوله استوانه‌ای شکل فولادی به قطر 3 سانتی‌متر استفاده شد. کلیه آزمایش‌ها در شرایط آب زلال انجام گرفت. برای به دست آوردن زمان تعادل شرایط بستر و پایان هر آزمایش، تغییرات آبشنستگی در محدوده پایه ساده (الگوی شاهد) نسبت به زمان در مدت 15 ساعت ثبت شد. معیار زمان تعادل در این آزمایش‌ها معیاری است که Kumar et al. 1999 در تحقیقات خود در نظر گرفتند و آن مدت زمانی است که تغییرات عمق آبشنستگی در سه ساعت متولی بیش از یک میلی‌متر نباشد، در تحقیق حاضر نیز این مدت با انجام آزمایشی در دبی 32 لیتر بر ثانیه برابر 7 ساعت در نظر گرفته شد (شکل 4).

برای مدل کردن اجسام شناور اطراف پایه‌ها از قطعات نیم استوانه‌ای، مستطیلی و مثلثی با جنس‌های پلاستیکی و چوبی استفاده

جریان آب مقدار زیادی اجسام جامد به همراه دارد بنابراین قدرت تخریبی زیادی دارد. این نوع جریان بر زیست‌بوم رودخانه می‌تواند اثرات نامطلوبی داشته و با جمع شدن اطراف سازه‌های موجود در آب از قبیل پایه و تکیه‌گاه پل‌ها باعث ازدیاد سرعت و افزایش عمق آبشنستگی گردد.

انباشتگی اجسام شناور بزرگ چوبی باعث کاهش سطح جریان، انحراف جریان و افزایش سرعت در پای پایه‌های پل، افزایش سرعت انتقال رسوب و حداکثری عمق آبشنستگی می‌شود. همچنین چوب و اجزای درختان جمع‌آوری شده بر روی پایه پل از اندازه‌های مختلفی تشکیل شده‌اند و بر اساس ویژگی‌های این اجسام شناور و مورفولوژی رودخانه انباشتگی این اجسام شناور ممکن است تا پایین دست پایه ادامه یابد و یا کاملاً در بالادست پایه انباشت شوند (Pagliara and Carnacina., 2010-2011)

Larsen and Toch تاثیر تجمع اجسام شناور بر روی پایه‌های پل را به صورت کیفی بررسی نموده و مشاهده نمودند که حضور اجسام شناور باعث می‌شود که گودال آبشنستگی ایجاد شده بر اثر تجمع آن‌ها عمیق‌تر و گستردگر از حالتی باشد که اجسام شناور وجود ندارد (Larsen and Toch., 1956).

Melville and Dongol نشان دادند که برای اندازه‌گیری کمی عمق آبشنستگی پایه پل همراه با تجمع اجسام شناور می‌توان پایه پل را بزرگ‌تر از پایه واقعی فرض کرد و میزان آبشنستگی با حضور اجسام شناور را با پایه جدید فرضی معادل کرده و تخمین زد. در این تحقیق اجسام شناور بکار رفته به عنوان مدل در آزمایشگاه، دارای شکل‌های منظم با سطحی صاف و نفوذناپذیر بودند و سطح بالای آن‌ها مماس بر سطح آب بود. نتایج نشان داد که بیشینه عمق آبشنستگی موضعی ایجاد شده توسط پایه پل به همراه اجسام شناور جمع شده در اطراف پایه پل را می‌توان به صورت محافظه کارانه با محاسبه یک قطر موثر پایه و قرار دادن آن درون معادله آبشنستگی موضعی Melville and Dongol بدست آورد (Melville and Dongol., 1992)

Melville and Dongol با بررسی رابطه Lagasse et al مقایسه آن با نتایج آزمایشگاهی بیان کردند که این رابطه قطر موثر پایه را زیاد برآورد می‌کند (Lagasse et al., 2010).

Melville and Dongol (1393) تاثیر اجسام شناور چوبی مستطیلی بر آبشنستگی پایه‌های مربعی و مربعی دماغه تیز را به صورت آزمایشگاهی مورد بررسی قرار دادند. نتایج نشان داد وجود اجسام شناور در جلو پایه‌های پل مربعی و مربعی با دماغه تیز تاثیر قابل ملاحظه‌ای بر روی عمق، عرض و طول گودال آبشنستگی دارد.

با توجه به اینکه در اغلب رودخانه‌های ایران سیلان‌های زیادی دیده می‌شود و با علم به اینکه در اغلب سیل‌ها از جمله سیل‌های گلستان و شیراز جریان همراه با اجسام شناور ملاحظه می‌گردد، مطالعه در این زمینه ضروری به نظر می‌رسد. در این تحقیق تاثیر

تراز و ماله بنایی کاملاً مسطح گردید. بعد از راه اندازی پمپ، در حالی که سریز در انتهای فلوم نصب گردیده بود، با تنظیم دور موتور پمپ، آب با دبی کمی وارد سیستم شد. پس از بالا آمدن آب و اطمینان از مرتبط شدن رسوبات به آرامی دبی افزایش یافت تا به دبی مورد نظر بررسد.

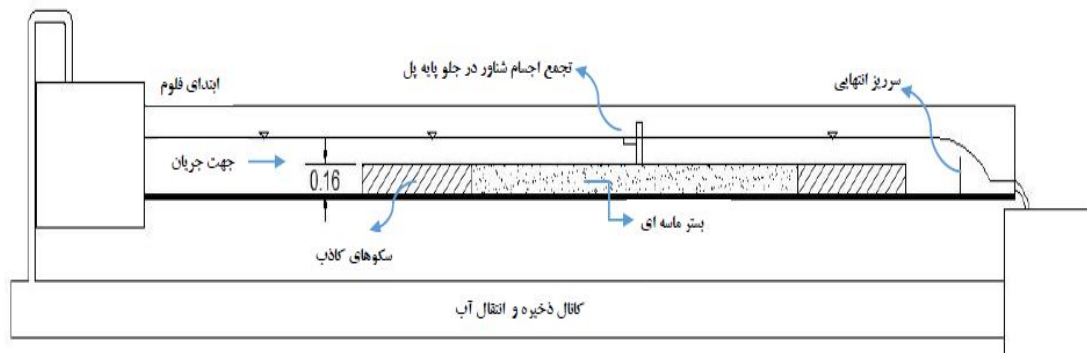
گردید که نمایی از آن همراه با مدل پایه پل در شکل 5 نشان داده شده است.

انجام آزمایش

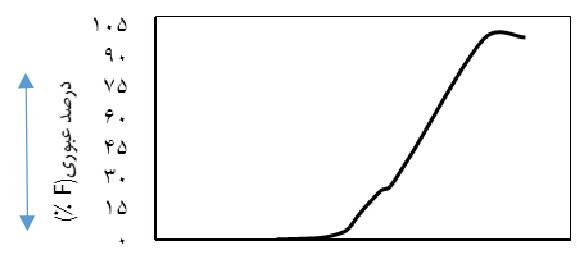
در هر آزمایش ابتدا مدل پایه در بستر قرار گرفته و مدل اجسام شناور بر روی پایه با کمک پیچ سفت شد. سپس مصالح بستر بوسیله



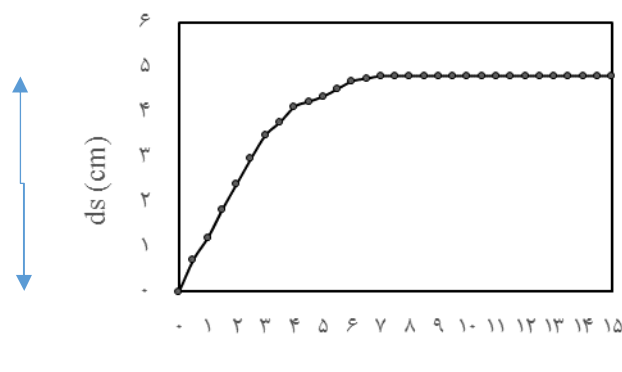
شکل 1- فلوم آزمایشگاهی



شکل 2- نمایی از فلوم آزمایشگاهی و نحوه قرارگیری جسم شناور و پایه پل



شکل 3- منحنی دانه‌بندی رسوب



شکل 4- منحنی زمان تعادل



شکل 5- چند نمونه از مدل اجسام شناور پلاستیکی و چوبی با هندسه‌های مختلف به کار رفته در آزمایشگاه

برداشت می‌گردید. عمق سنج همان طور که در شکل شماره 6 نشان داده شده است بر روی ریلی که امکان حرکت درجهت طولی و عرضی را دارد، نصب شده بود. قرائت بستر در اطراف پایه‌ها در شبکه‌های 2×2 سانتی‌متری انجام شد.

پس از هر آزمایش، پمپ خاموش و با وجود سرریز انتهایی آب موجود در کanal به آرامی زهکشی شده تا تغییری روی توپوگرافی بستر ایجاد نگردد. پس از گذشت چند ساعت و تخلیه کامل آب درون کanal، بوسیله یک عمق‌سنج لیزری با دقیقیت 1 mm توپوگرافی بستر

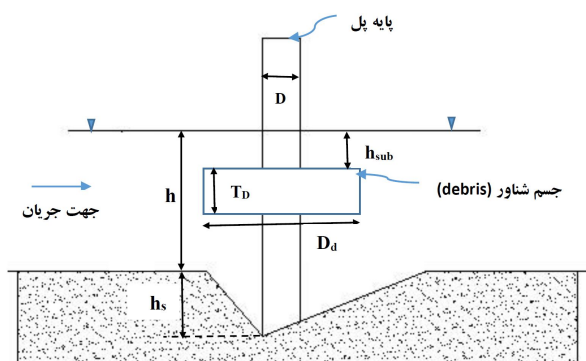


شکل 6- نمایی از مراحل انجام آزمایش‌ها

نتایج و بحث

شناور در 7 نمونه (S9 تا S15) و تاثیر ضخامت اجسام شناور در 9 آزمایش (S24 تا S16) مورد بررسی قرار گرفت. به منظور بررسی تاثیر محل قرارگیری جسم شناور یک مدل جسم شناور در 9 عمق مختلف با ثابت بودن سایر پارامترها قرار گرفت. در نهایت تاثیر شکل برای سه شکل اجسام شناور مستطیلی، مثلثی و دایره ای در 9 آزمایش بررسی گردید، شکل 7 محل قرارگیری اجسام شناور و پارامترهای مورد استفاده را نشان می‌دهد. تاثیر پارامترهای مذکور به صورت مجزا در ادامه تشریح گردیده است.

در این تحقیق تاثیر دبی، عمق آب، محل قرارگیری جسم شناور، ضخامت، قطر و شکل جسم شناور بر آبستنگی موضعی پایه پل به صورت آزمایشگاهی مورد بررسی قرار گرفته است. در مجموع 45 آزمایش انجام گردید، در ابتدا در چهار آزمایش (S4، S3، S2، S1) تاثیر عمق جریان بر آبستنگی پایه پل همراه با تجمع اجسام شناور با ثابت بودن سایر پارامترها بررسی گردید، سپس تاثیر دبی جریان برای چهار دبی مختلف (S8، S7، S6، S5) آزمایش شد. تاثیر قطر اجسام



شکل 7- نمایی از پایه پل و جسم شناور و پارامترهای مورد بررسی

نسبت عمق بیشینه آبستنگی به قطر پایه D/h را نشان می‌دهد. با توجه به این شکل با افزایش عمق آب، عمق بیشینه آبستنگی کاهش می‌یابد.

تاثیر دبی جریان بر آبستنگی پایه پل همراه با تجمع اجسام شناور.

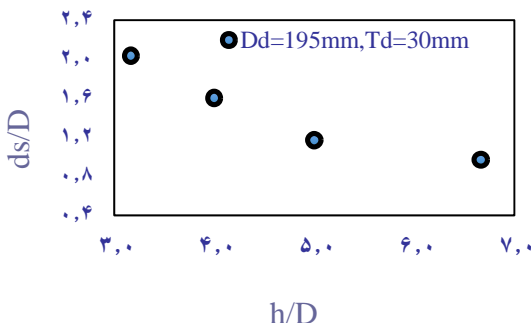
این آزمایش‌ها با عمق ثابت 12 سانتی‌متر برای اجسام شناور استوانه‌ای و برای دبی‌های مختلف انعام گرفت. در جدول 2 مشخصات آزمایش‌ها نشان داده شده است، در شکل 9 نمودار دبی در مقابل عمق بیشینه آبستنگی رسم شده است. این شکل نشان می‌دهد که با افزایش دبی عمق بیشینه آبستنگی افزایش می‌یابد.

تاثیر عمق آب بر آبستنگی پایه پل همراه با تجمع اجسام شناور.

به منظور بررسی تاثیر عمق آب بر عمق بیشینه آبستنگی پایه پل با تجمع اجسام شناور با ثابت بودن دبی، ارتفاع سرریز انتهایی تغییر داده شد و عمق‌های متفاوت با دبی ثابت 32 لیتر بر ثانیه مورد آزمایش قرار گرفت. خصوصیات آزمایش‌های انجام شده به شرح جدول 1 می‌باشد که در آن D/h قطر اجسام شناور، T_d ضخامت اجسام شناور، h عمق آب، U عمق بیشینه آبستنگی، D قطر پایه پل، U سرعت متوسط و U سرعت آستانه حرکت رسوب می‌باشد. در شکل 8 محور افقی نسبت عمق آب به قطر پایه h/D و محور عمودی

جدول 1- خصوصیات مدل‌های آزمایشگاهی تاثیر عمق آب بر آبستنگی

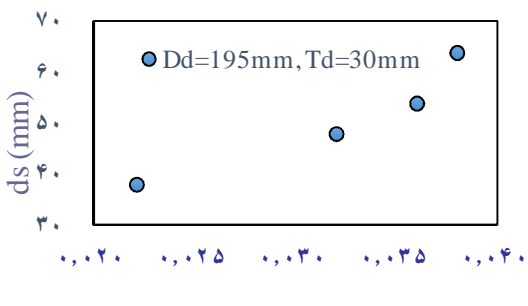
$\frac{h}{D}$	$\frac{d_s}{D}$	$\frac{h}{D}$	ds (mm)	h (mm)	Td (mm)	Dd (mm)	نمونه
0/96	2/03	2/67	61	95	30	195	S1
0/71	1/6	4	48	120	30	195	S2
0/55	1/17	5	35	150	30	195	S3
0/4	0/97	6/67	29	200	30	195	S4



شکل 8- تاثیر عمق آب بر بیشینه عمق آبشنستگی

جدول 2- خصوصیات مدل‌های آزمایشگاهی تاثیر دبی جریان بر آبشنستگی

$\frac{U}{U_s}$	$\frac{d_s}{D}$	ds (mm)	Q (lit/s)	h (mm)	Td (mm)	Dd (mm)	نمونه
0/49	1/27	38	22	120	30	195	S5
0/71	1/6	48	32	120	30	195	S6
0/8	1/8	54	36	120	30	195	S7
0/85	2/13	64	38	120	30	195	S8



شکل 9- تاثیر دبی جریان بر بیشینه عمق آبشنستگی

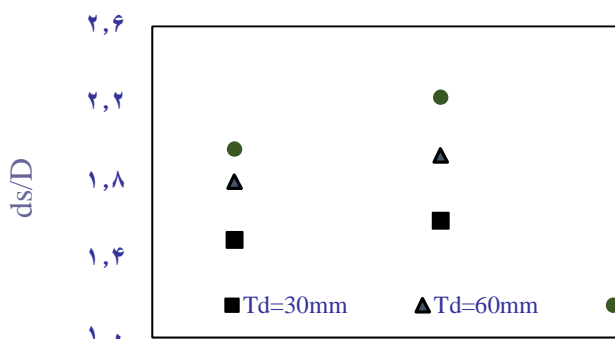
استوانه‌ای انجام گردید. در جدول 3 مشخصات آزمایش‌ها قابل مشاهده است. شکل 10 نشان می‌دهد که با افزایش قطر اجسام شناور عمق بیشینه آبشنستگی زیاد می‌شود.

تاثیر قطر اجسام شناور بر آبشنستگی پایه پل همراه با تجمع اجسام شناور.

این آزمایش‌ها برای دبی ثابت 32 لیتر بر ثانیه و عمق آب 12 سانتی‌متر با ثابت بودن ضخامت، برای قطرهای مختلف اجسام شناور

جدول 3- خصوصیات مدل‌های آزمایشگاهی تاثیر قطر اجسام شناور بر آبشنستگی

$\frac{U}{U_s}$	$\frac{d_s}{D}$	$\frac{D_d}{D}$	ds (mm)	h (mm)	Td (mm)	Dd (mm)	نمونه
0/73	1/5	4	45	120	30	120	S9
0/73	1/6	6/5	48	120	30	195	S10
0/73	1/93	10	58	120	30	300	S11
0/73	1/8	4	54	120	60	120	S12
0/73	1/93	6/5	58	120	60	195	S13
0/73	2/07	10	62	120	60	300	S14
0/73	1/9	4	59	120	90	120	S15
0/73	2/23	6/5	67	120	90	195	S16
0/73	2/4	10	72	120	90	300	S17



شکل 10- تاثیر قطر اجسام شناور بر عمق بیشینه آبستنگی

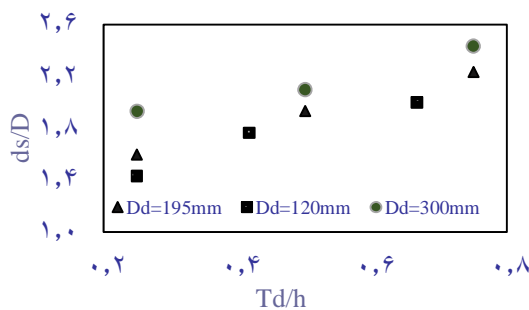
ها قابل مشاهده است. در شکل 11 محور افقی نسبت ضخامت اجسام شناور به عمق آب و محور عمودی نسبت عمق بیشینه آبستنگی به قطر پایه رسم شده است، با افزایش ضخامت اجسام شناور عمق بیشینه آبستنگی زیاد می شود.

تاثیر ضخامت اجسام شناور بر آبستنگی پایه پل همراه با تجمع اجسام شناور.

این آزمایش‌ها برای دبی ثابت 32 لیتر بر ثانیه و عمق آب 12 سانتی‌متر با ثابت بودن قطر اجسام شناور، برای ضخامت‌های مختلف اجسام شناور استوانه‌ای انجام گردید. در جدول 4 مشخصات آزمایش-

جدول 4- خصوصیات مدل‌های آزمایشگاهی تاثیر ضخامت اجسام شناور بر آبستنگی

$\frac{U}{U_c}$	$\frac{d_s}{D}$	$\frac{T_d}{h}$	ds (mm)	h (mm)	Td (mm)	Dd (mm)	نونه
0/73	1/6	0/25	48	120	30	195	S18
0/73	1/93	0/5	58	120	60	195	S19
0/73	2/23	0/75	67	120	90	195	S20
0/73	1/43	0/25	43	120	30	120	S21
0/73	1/77	0/42	53	120	50	120	S22
0/73	2	0/67	60	120	80	120	S23
0/73	1/93	0/25	58	120	30	300	S24
0/73	2/1	0/5	63	120	60	300	S25
0/73	2/43	0/75	73	120	90	300	S26



شکل 11- تاثیر ضخامت اجسام شناور بر بیشینه عمق آبستنگی

تغییر می کرد به صورتی که در ابتدا سطح بالای اجسام شناور مماس بر سطح آب و سپس اجسام شناور در عمق‌های مختلف مستغرق گردید، فاصله سطح بالای اجسام شناور تا سطح آب H_{max} نشان دهنده میزان استغرق اجسام شناور می باشد (شکل 7).

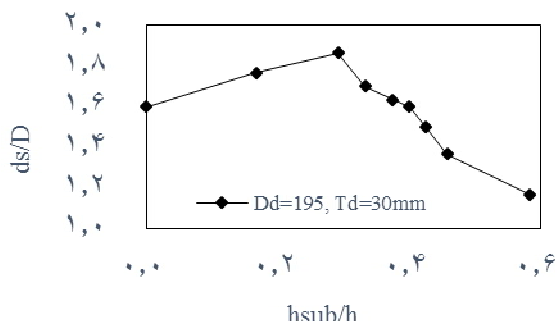
در شکل 12 محور افقی نسبت استغرق اجسام شناور $H_{\text{max}}/H_{\text{min}}$ به

تاثیر محل قرار گیری اجسام شناور بر آبستنگی پایه پل همراه با تجمع اجسام شناور.

این آزمایش‌ها در حالت دبی ثابت 32 لیتر بر ثانیه و عمق آب 12 سانتی‌متر برای اجسام شناور با قطر 195 میلی‌متر و ضخامت 30 میلی‌متر انجام گرفت. محل قرارگیری اجسام شناور بر روی پایه پل

میزان آبشنستگی کاهش می‌یابد تا حدی که برای $\frac{h_{sub}}{h} > 0/4$ آبشنستگی پایه با وجود اجسام شناور کمتر از پایه بدون اجسام شناور می‌شود.

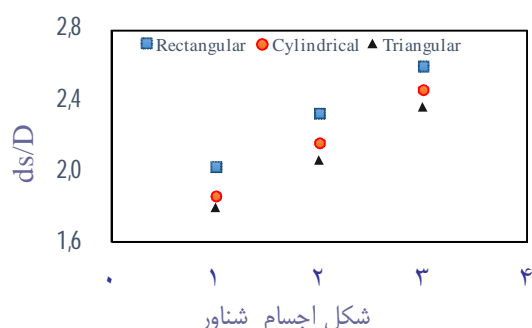
عمق آب و محور عمودی نسبت عمق آبشنستگی بیشینه به عمق آب $\frac{h_{sub}}{h}$ را نشان می‌دهد. زمانی که اجسام شناور مستغرق می‌شوند در بازه $0 < \frac{h_{sub}}{h} < 0/3$ با افزایش استغراق اجسام شناور میزان عمق آبشنستگی زیاد می‌شود، برای $\frac{h_{sub}}{h} > 0/3$ با افزایش استغراق



شکل 12- تاثیر محل قرارگیری اجسام شناور بر بیشینه عمق آبشنستگی

متفاوت که در جدول 5 مشخصات آن‌ها ارائه شده است، استفاده R3، T1 و T2 و T3 سه مدل اجسام شناور مثلثی، R1، R2 و C3 سه مدل اجسام شناور مستطیلی و C1، C2 و C3 سه مدل اجسام شناور دایره‌ای می‌باشد.

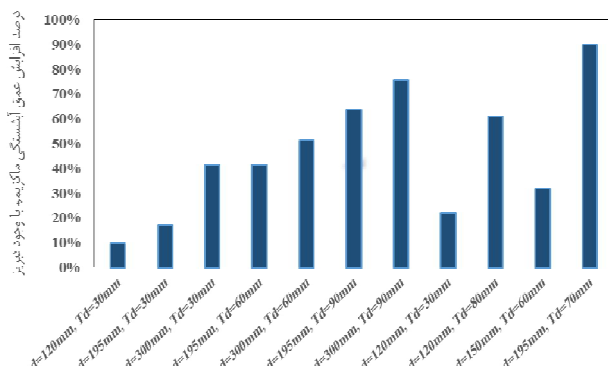
تاثیر شکل اجسام شناور بر آبشنستگی پایه پل همراه با تجمع اجسام شناور. سه شکل اجسام شناور مستطیلی، مثلثی و استوانه‌ای مورد آزمایش قرار گرفت. برای هر شکل سه نمونه جسم شناور با ابعاد



شکل 13- تاثیر شکل اجسام شناور بر بیشینه عمق آبشنستگی

جدول 5- خصوصیات مدل‌های آزمایشگاهی شکل‌های مختلف اجسام شناور

$\frac{U}{D}$	$\frac{d}{D}$	$\frac{T_d}{h}$	ds (mm)	h (mm)	Td (mm)	Dd (mm)	نمونه
0/73	1/8	0/27	54	120	33	195	T1
0/73	2/07	0/42	62	120	50	195	T2
0/73	2/37	0/58	71	120	70	195	T3
0/73	2/03	0/27	61	120	33	195	R1
0/73	2/33	0/42	70	120	50	195	R2
0/73	2/6	0/58	78	120	70	195	R3
0/73	1/87	0/27	56	120	33	195	C1
0/73	2/17	0/42	65	120	50	195	C2
0/73	2/47	0/58	74	120	70	195	C3



شکل 14- تاثیر اجسام شناور بر بیشینه عمق آبستگی.

پل حدود 90 درصد آبستگی را افزایش می‌دهد.

منابع

شریعتی، ح. خداشناس س.ر و اسماعیلی، ک. 1390. بررسی آزمایشگاهی کارکرد با هم طبق و شکاف بر میزان آبستگی موضعی در پایه پل. نشریه علمی پژوهشی مهندسی عمران (دانشکده مهندسی)، 23، 1: 86-96.

مشعشعی، م.، اسدی آقبلاغی، م و قربانی، ب. 1393. بررسی آزمایشگاهی تاثیر اجسام شناور چوبی مستطیلی بر آبستگی پایه‌های مربعی و مربعی دماغه تیز. پایان نامه کارشناسی ارشد، دانشکده کشاورزی، دانشگاه شهر کرد

Amini,A., Melville,B.W., Ali,T.M., Ghazali,A.H. 2012. Clear-Water Local Scour around Pile Groups in Shallow-Water Flow. Journal of Hydraulic Engineering. 138 .2: 177-185.

Debnath,K and Chaudhuri,S. 2012. Local scour around non-circular piers in clay-sand mixed cohesive sediment beds. Engineering Geology. 151: 1-14.

Kumar, V., Rango Raju, K.G., and Vittal, N. 1999. Reduction of local scour around bridge piers using slots and collars. J.Hyd.Eng. ASCE, 125, 12 : 1302-1305.

Lagasse,P.F., Clopper,P.E., Zevenbergen,L.W. 2010. Effects of Debris on Bridge Pier Scour, NCHRP Report 653, Transportation Research Board, National Academies of Science, Washington, D.C.

Larsen,E.M and Toch,A. 1956. Scour around bridge piers and abutments. Bulletin No. 4, Iowa Highway Res. Board, Ames, Iowa.

Lee,S.O., Sturm,T.W. 2009. Effect of Sediment Size Scaling on Physical Modeling of Bridge Pier Scour. Journal of Hydraulic Engineering. 135.10: 793-802.

Melville,B.W and Chiew,Y.M. 1999. Time scale for local scour at bridge piers. Journal of Hydraulic

در شکل 13 محور طولی نمونه‌های مذکور و محور عرضی نسبت بیشینه عمق آبستگی به قطر پایه پل (D_p/D) را نشان می‌دهد. شکل اجسام شناور بر آبستگی موثر بوده و اجسام شناور مستطیلی، استوانه‌ای و مثلثی به ترتیب آبستگی را به میزان 90، 80 و 73 درصد افزایش می‌دهند.

تأثیر کلی اجسام شناور مورد بررسی در تحقیق بر آبستگی پایه پل همراه با تجمع اجسام شناور.

نمودار درصد افزایش عمق بیشینه آبستگی در اثر تجمع اجسام شناور اطراف پایه پل برای چند نمونه آزمایش در شکل 14 ارائه گردیده است. همان‌طور که مشاهد می‌شود اجسام شناور موجود تا 90 درصد آبستگی را افزایش می‌دهند و این موضوع نشان‌دهنده اهمیت اجسام شناور در افزایش عمق آبستگی و تخریب پل را دارد.

نتیجه گیری

در این تحقیق تاثیر دبی، عمق آب، محل قرارگیری جسم شناور، ضخامت، قطر و شکل جسم شناور بر آبستگی موضعی، پایه پل به صورت آزمایشگاهی مورد بررسی قرار گرفت. نتایج نشان داد که عمق بیشینه آبستگی با افزایش دبی بیشتر و با افزایش عمق آب کمتر می‌شود. ضخامت و قطر اجسام شناور بر آبستگی پایه پل موثر بوده و عمق بیشینه آبستگی را زیاد می‌کنند. محل قرارگیری اجسام شناور بر آبستگی تاثیر زیادی دارد، زمانی که اجسام شناوره مستعرق می‌شوند در بازه $h_{scour}/h < 0/3$ با افزایش استعرق اجسام شناور میزان عمق آبستگی زیاد می‌شود، برای $h_{scour}/h > 0/3$ با افزایش استعرق میزان آبستگی کاهش می‌یابد تا حدی که برای آبستگی پایه با وجود اجسام شناور کمتر از پایه بدون اجسام شناور می‌شود.

شکل اجسام شناور بر آبستگی تاثیر زیادی دارد، به ترتیب اجسام شناور مستطیلی، استوانه‌ای و مثلثی آبستگی بیشتری ایجاد می‌کنند. تجمع اجسام شناور مانند شاخه و تنه درختان در اطراف پایه

- 795
- Shen,H.W., Schneider,V.R and Karaki,S.S. 1969. Local scour around bridge piers. *Journal of Hydraulic Division*. 95.6: 1919–1940.
- Talebbeydokhti,N and Aghbolaghi,M.A. 2006. Investigation of Scour Depth at Bridge Piers Using Bristars Model, *Iranian Journal of Science & Technology, Transaction B, Engineering*. Volume 30.4: 541-554
- Yasser,A., Mohammed,Yasser,K.S and Abdel-Azim,M.A. 2015. Experimental investigation of local scour around multi-vents bridge piers, *Alexandria Engineering Journal*.28, 49–68.
- Engineering. 125.1: 59–65
- Melville,B.M and Dongol,D.M. 1992. Bridge pier scour with debris accumulation, *Journal of Hydraulic Engineering*. 118. 9: 1306–1310.
- Pagliara,S and Carnacina,L. 2010. Temporal scour evolution at bridge piers: effect of wood debris roughness and porosity, *Journal of Hydraulic Research*. 48. 1: 3-13.
- Pagliara,S and Carnacina,L. 2011. Influence of Wood Debris Accumulation on Bridge Pier Scour *Journal of Hydraulic Engineering, ASCE*. 26.2: 121-136.
- Raudkivi,A.J and Ettema,R. 1983. Clear water scour at cylindrical piers *Journal of Hydraulic Engineering, ASCE*. 103.10: 1209-1213.

Experimental Study on Effect of Debris Accumulation on Bridge Pier Scour

E. Rahimi^{1*}, K. Qaderi², M. Rahimpour³, M. M. Ahmadi⁴

Received: Jan.26, 2016

Accepted: Oct.19, 2016

Abstract

An important factor in increasing the scour around bridge piers is the accumulation of debris and trees. The effect of discharge, water depth, location of the debris, thickness, diameter and shape of the debris on pier scour been studied experimentally. 45 samples in the laboratory hydraulic and hydraulic structures, water engineering shahid Bahonar University of Kerman. The results showed that the maximum scour depth increases with increasing water depth less discharge occurs. The thickness and diameter debris on pier scour effective and maximum scour depth increases. The location of debris on the scouring effect. If the water level up to the debris h_{sub} , Water depth is h . In the range $0 < h_{sub}/h < 0.3$ with debris submerged increase the scour depth increases. For $h_{sub}/h > 0.3$ scour reduced by increasing the submergence. The shape of the debris can affect scour, debris rectangular, cylindrical and triangular respectively scour more. Accumulation of debris such as branches and trunks of trees around the pier of the bridge scour increases about 90%.

Keywords: Debris, Maximum scour depth, Non-cohesive sediments

1- ph.D Candidate, Department of Water Engineering, Shahid Bahonar University of Kerman, Kerman, Iran
2 ,3- Associate professor, Department of Water Engineering, Shahid Bahonar University of Kerman, Kerman, Iran
4- Assistant professor, Department of Water Engineering, Shahid Bahonar University of Kerman, Kerman, Iran
(*- Corresponding Author Email: Rahimi.uk@gmail.com)